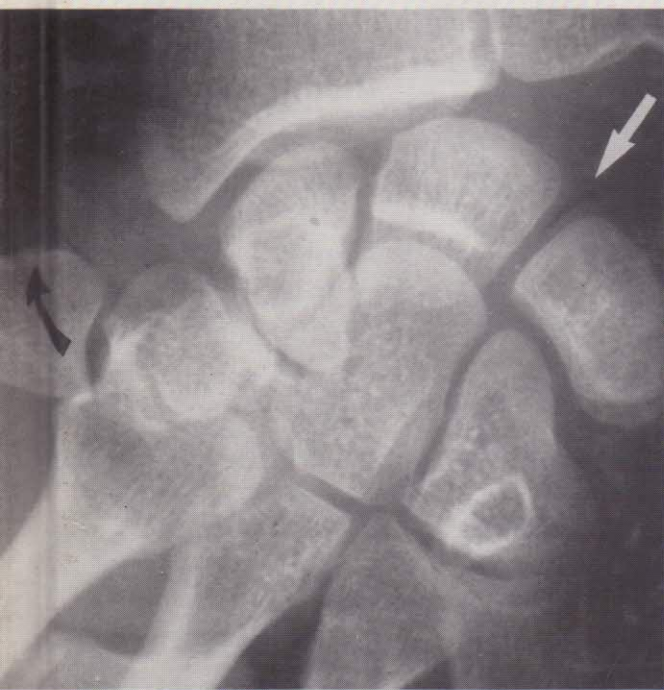


Collection d'imagerie radiologique

Imagerie du poignet

S. SINTZOFF E. FUMIÈRE

E. DION R.-G. DUSSAULT D. GODEFROY Ph.-A. KAPLAN
S. LOURVAN Ph. PEETRONIS M. ROOZE



MASSON 

TABLE DES MATIÈRES

| | |
|---|-----|
| AVANT-PROPOS..... | VII |
| CHAPITRE PREMIER. — <i>Anatomie utile du poignet</i> , par M. ROOZE, S. LOURYAN, V. FEIPEL..... | 1 |
| <i>Phylogénèse du poignet</i> | 1 |
| <i>Articulation radiocubitale inférieure et complexe cubital</i> | 1 |
| Articulation radiocubitale inférieure..... | 1 |
| Ligament triangulaire..... | 2 |
| <i>Articulations du poignet</i> | 4 |
| Articulation radiocarpienne..... | 4 |
| Articulation médiocarpienne..... | 5 |
| Arthrodies de la première rangée..... | 6 |
| Arthrodies de la deuxième rangée..... | 6 |
| Articulations carpo-métacarpiennes..... | 6 |
| <i>Ligaments du poignet</i> | 7 |
| Système ligamentaire articulaire..... | 8 |
| Les ligaments inter-osseux (8). Les V palmaires (8). Le V dorsal (9). | |
| Système ligamentaire extra-articulaire..... | 10 |
| Le ligament annulaire antérieur du carpe (10). Le ligament annulaire dorsal du carpe (10). | |
| Ligaments latéraux..... | 11 |
| Le ligament latéral interne (11). Le ligament latéral externe (12). | |
| Pyramidal et appareil ligamentaire..... | 12 |
| <i>Éléments d'anatomie topographique</i> | 12 |
| Canal carpien..... | 12 |
| Loge thénarienne..... | 12 |
| Loge hypothénarienne..... | 12 |
| Gainés synoviales..... | 13 |
| <i>Ossification et os surnuméraires</i> | 14 |
| Ossification..... | 14 |
| Os sésamoïdes et surnuméraires..... | 14 |
| Éléments d'anatomie fonctionnelle du poignet..... | 14 |
| Mouvements des os du poignet..... | 14 |
| <i>Description des modèles fonctionnels du poignet</i> | 17 |
| Apport des techniques de reconstruction tridimensionnelle aux conceptions actuelles..... | 20 |
| CHAPITRE 2. — <i>Considérations cliniques</i> , par S. SINTZOFF, R.G. DUSSAULT..... | 23 |
| <i>Pathologie inflammatoire</i> | 23 |
| Arthrite rhumatoïde..... | 23 |
| Arthrite rhumatoïde juvénile..... | 24 |
| Spondylarthrite ankylosante, psoriasis, reiter..... | 24 |

TABLE DES MATIÈRES

| | |
|--|----|
| <i>Pathologie dégénérative</i> | 25 |
| Arthrose banale | 25 |
| Ostéo-arthrite érosive | 26 |
| <i>Pathologie cristalline</i> | 26 |
| Arthropathie goutteuse | 26 |
| Maladie par dépôts de cristaux de pyrophosphate de calcium chondrocalcinat | 26 |
| Maladie par dépôts de cristaux d'apatite | 27 |
| <i>Sclérodermie</i> | 27 |
| <i>Pathologie traumatique osseuse</i> | 27 |
| Fractures de l'extrémité inférieure du radius | 27 |
| Fractures juxta-articulaires (27). Fractures articulaires (27). | |
| Fractures du carpe. Traumatismes forcés du carpe | 29 |
| Fractures du scaphoïdes (29). Fractures du versant dorsal des os du carpe (30). Fracture du semi-lunaire (30). Fracture du pyramidal (30). Fracture du trapèze (30). Fracture du pisiforme (31). Fracture de l'os crochu (31). Fracture du grand os (32). Fracture du trapézoïde (32). | |
| Traumatisme chez l'enfant | 33 |
| CHAPITRE 3. — <i>Examen radiologique simple du poignet</i> , par S. SINTZOFF, E. FUMIÈRE | 35 |
| <i>Incidences fondamentales</i> | 35 |
| Étude de face | 35 |
| Position paume-plaque (35). Position dos-plaque (36). Évaluations utiles sur le film de face (36). | |
| Étude de profil | 37 |
| Incidences obliques | 37 |
| Incidences spécifiques | 37 |
| <i>Exploration radiologique dynamique du poignet</i> | 39 |
| Inclinaisons radiale et cubitale | 40 |
| Incidences en compression | 41 |
| Mouvements de translation latérale | 42 |
| Mouvements de tiroir | 42 |
| Traction et compression | 43 |
| Flexions dorsale et palmaire | 43 |
| Mouvements complexes | 44 |
| CHAPITRE 4. — <i>Instabilités du carpe</i> , par E. FUMIÈRE, S. SINTZOFF | 45 |
| <i>Historique</i> | 45 |
| <i>Classification des instabilités carpiennes</i> | 45 |
| Instabilités externes | 46 |
| Instabilité en dorsiflexion (46). Subluxation rotatoire du scaphoïde (49). | |
| Instabilités internes | 49 |
| Dissociation lunopyramidale (49). | |
| Instabilités périlunaires complètes | 51 |
| Instabilités médiocarpiales | 53 |
| Intrinsèques (53). Extrinsèques (54). | |
| Instabilités radiocarpiales proximales | 54 |
| Translation cubitale (54). Subluxation carpienne dorsale (55). Subluxation carpienne palmaire (55). | |
| Divers | 55 |
| Diastasis semi-lunaire-grand os (55). Diastasis scaphoïde-grand os (55). | |



| | |
|--|-----|
| CHAPITRE 5. — <i>Échographie du poignet</i> , par Ph. PEETRONS | 59 |
| <i>Anatomie échographique</i> | 59 |
| <i>Technique échographique</i> | 59 |
| <i>Pathologie tendineuse</i> | 60 |
| <i>Pathologie du canal carpien</i> | 61 |
| <i>Pathologie articulaire</i> | 62 |
| <i>Divers</i> | 64 |
| <i>Conclusion</i> | 65 |
| CHAPITRE 6. — <i>Arthrographie du poignet</i> , par E. FUMIÈRE, S. SINTZOFF | 67 |
| <i>Technique</i> | 67 |
| Arthrographie radiocarpienne (67). Arthrographie médiocarpienne (67). Arthrographie radiocubitale inférieure (68). Recettes particulières (68). | |
| <i>Arthrogramme normal</i> | 69 |
| Articulation radiocarpienne (69). Articulation médiocarpienne (69). Articulation radiocubitale inférieure (69). | |
| <i>Indications</i> | 70 |
| <i>Résultats</i> | 70 |
| Lésions ligamentaires (70). Kystes synoviaux (71). Pseudarthrose du scaphoïde (72). Arthropathies inflammatoires (72). | |
| <i>Complications</i> | 73 |
| CHAPITRE 7. — <i>Examen tomodensitométrique du poignet</i> , par D. GODEFROY, B. ROUSSELIN | 75 |
| <i>Réalisation pratique de l'examen</i> | 75 |
| Position du patient | 75 |
| Injection de produit de contraste intra-veineux | 77 |
| Paramètres techniques | 77 |
| Arthro-scanner | 78 |
| <i>Aspects normaux</i> | 78 |
| Squelette | 78 |
| Parties molles | 81 |
| Difficultés de lecture | 84 |
| <i>Indications</i> | 84 |
| Traumatismes | 85 |
| Les fractures du scaphoïde sont fréquentes (85). Les fractures des autres os du carpe (88). Les fractures de la base des métacarpiens et les fractures luxations carpo-métacarpiennes (91). L'instabilité du carpe (92). L'articulation radiocarpienne (92). | |
| Tuméfactions | 93 |
| Géodes et modifications de la structure osseuse | 95 |
| Les géodes osseuses (96). Les tumeurs osseuses (96). Les modifications de la structure osseuse (97). | |
| Pathologie synoviale | 97 |
| Articulation radiocubitale inférieure | 98 |
| Canal carpien | 99 |
| Scanner du poignet opéré | 101 |
| <i>Apports et limites actuelles</i> | 101 |

TABLE DES MATIÈRES

| | |
|---|-----|
| CHAPITRE 8. — <i>IRM du poignet</i> , par R.M. DUSSAULT, Ph.A. KAPLAN | 105 |
| <i>Introduction</i> | 105 |
| <i>Considérations techniques</i> | 105 |
| <i>Anatomie normale du poignet</i> | 106 |
| Plan coronal | 106 |
| Plan axial | 108 |
| Plan sagittal | 109 |
| <i>IRM des pathologies du poignet</i> | 109 |
| Neuropathies compressives | 109 |
| Neurophatie cubitale | 111 |
| Anomalies ligamentaires | 111 |
| Fibrocartilage triangulaire | 111 |
| Ligament scapholunaire | 114 |
| Instabilité carpienne | 114 |
| Anomalies tendineuses | 115 |
| Arthrite | 116 |
| Tumeurs | 117 |
| Anomalies osseuses | 118 |
| Fractures | 119 |
| <i>Conclusion</i> | 119 |
| CHAPITRE 9. — <i>IRM en haute résolution du canal carpien</i> , par E. DION, J. BITTOUN | 121 |
| <i>Introduction</i> | 121 |
| <i>Considérations techniques</i> | 121 |
| <i>Résultats</i> | 123 |
| <i>Conclusion</i> | 125 |
| INDEX ALPHABÉTIQUE DES MATIÈRES | 128 |